MED
5000

HARVARD UNIVERSITY.

LIBRARY

OF THE

MUSEUM OF COMPARATIVE ZOÖLOGY

7114

Exchange

February 23, 1912 – December 22, 1928.

DENKSCHRIFTEN

DER

MEDIZINISCH-NATURWISSENSCHAFTLICHEN GESELLSCHAFT

ZU

JENA

SIEBZEHNTER BAND

LEONHARD SCHULTZE JENA, ZOOLOGISCHE UND ANTHROPOLOGISCHE ERGEBNISSE EINER FORSCHUNGSREISE
IM WESTLICHEN UND ZENTRALEN SÜDAFRIKA

FÜNFTER BAND

SYSTEMATIK, TIERGEOGRAPHIE UND ANTHROPOLOGIE.

DRITTE LIEFERUNG

MIT 16 ABBILDUNGEN UND 5 KURVENDARSTELLUNGEN IM TEXT UND 18 HELIOGRAVÜRE-TAFELN

JENA
VERLAG VON GUSTAV FISCHER
1928

Tafel I.

Tafel I.

Fig. 1. *Nyctiphanes africana* n. sp., ♀. Vorderkörper.
„ 2. „ „ „ „ ♀. Telson und Uropod.
„ 3. „ „ „ „ ♂. Vorderkörper.
„ 4. „ „ „ „ ♂. Abdomen.
„ 5. „ „ „ „ ♂. Zusammenschluß von Carapax und Abdomen.
„ 6. „ „ „ „ ♂. Telson und Abdomen.
„ 7. *Paramysidopsis schultzei* n. sp., ♀. Vorderkörper.
„ 8. „ „ „ „ ♀. 1. Antenne.
„ 9. „ „ „ „ ♀. 2. Antenne.
„ 10. „ „ „ „ ♀. Oberlippe, Unterlippe und Mandibel.
„ 11. „ „ „ „ ♀. 1. Maxille.
„ 12. „ „ „ „ ♀. 2. Maxille.
„ 13. „ „ „ „ ♀. 1. Cormopod.
„ 14. „ „ „ „ ♀. 2. Cormopod.
„ 15. „ „ „ „ ♀. 3. Cormopod.
„ 16. „ „ „ „ ♀. Telson und Uropoden.
„ 17. „ „ „ „ ♀. Uropod von unten.
„ 18. „ „ „ „ ♀. Telson.
„ 19. „ „ „ „ ♂. Vorderkörper.
„ 20. „ „ „ „ ♂. 1. Antenne.
„ 21. „ „ „ „ ♂. Kauflächen der Mandibeln.
„ 22. „ „ „ „ ♂. Penis.
„ 23. „ „ „ „ ♂. 1. Pleopod.
„ 24. „ „ „ „ ♂. Endglieder des 4. Pleopoden.
„ 25. „ „ „ „ ♂. 5. Pleopod.
„ 26. „ „ „ „ ♂. Uropod von unten.
„ 27. „ „ „ „ ♂. Telson.

Fig. 1.

Fig. 2.

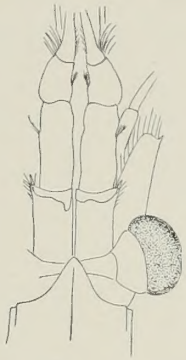

Fig. 3.

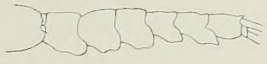

Fig. 4.

Fig. 5.

Fig. 6.

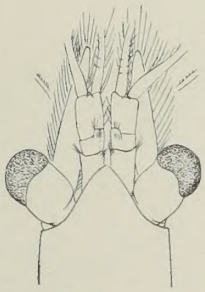

Fig. 7.

Fig. 8.

Fig. 9.

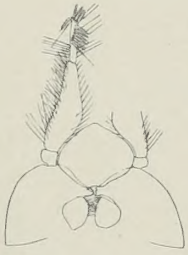

Fig. 10.

Fig. 11.

Fig. 12.

Fig. 13.

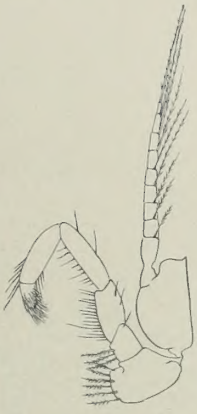

Fig. 14.

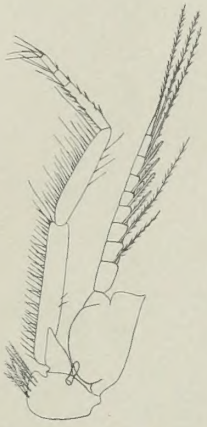

Fig. 15.

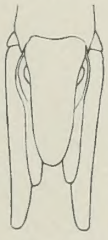

Fig. 16.

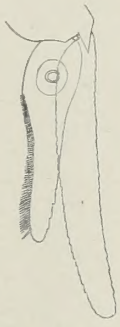

Fig. 17.

Fig. 18.

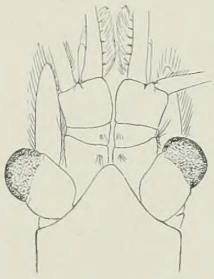

Fig. 19.

Fig. 20.

Fig. 21.

Fig. 22.

Fig. 23.

Fig. 24.

Fig. 25.

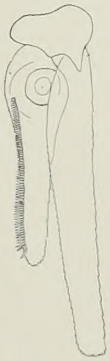

Fig. 26.

Fig. 27.

Verlag von **Gustav Fischer** in **Jena.**

Tafel II.

Tafel II.

Fig. 28. *Paramysidopsis similis* n. sp., ♀. Vorderkörper.
„ 29. „ „ „ „ ♀. 1. Antenne.
„ 30. „ „ „ „ ♀. 2. Antenne.
„ 31. „ „ „ „ ♀. 3. Cormopod.
„ 32. „ „ „ „ ♀. Telson und Uropoden.
„ 33. „ „ „ „ ♀. Uropod von unten.
„ 34. „ „ „ „ ♀. Telson.
„ 35. „ „ „ „ ♂. Vorderkörper.
„ 36. „ „ „ „ ♂. 1. Antenne.
„ 37. *Paramysidopsis major* n. sp., ♀ juv. Vorderkörper.
„ 38. „ „ „ „ ♀ „ 1. Antenne.
„ 39. „ „ „ „ ♀ „ Knopf am Ende des oberen Antennenstammes.
„ 40. „ „ „ „ ♀ „ 2. Antenne.
„ 41. „ „ „ „ ♀ „ Dactylopodit eines Cormopoden.
„ 42. „ „ „ „ ♀ „ Telson und Uropoden.
„ 43. „ „ „ „ ♂. Vorderkörper.
„ 44. „ „ „ „ ♂. 1. Antenne.
„ 45. „ „ „ „ ♂. 2. Antenne.
„ 46. „ „ „ „ ♂. 3. Cormopod.
„ 47. „ „ „ „ ♂. Telson und Uropoden.
„ 48. „ „ „ „ ♂. Uropod von unten.
„ 49. „ „ „ „ ♂. Telson.
„ 50. *Macropsis slabberi* (Van Bened.), ♀. Vorderkörper.
„ 51. „ „ „ „ ♀. 3. Cormopod (ohne Borstenbewehrung gezeichnet).
„ 52. „ „ „ „ ♀. Telson und Uropod.

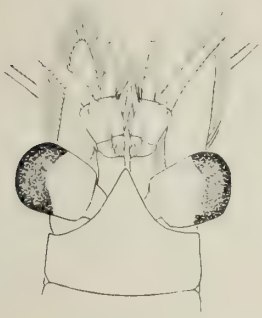

Fig. 28.

Fig. 29.

Fig. 30.

Fig. 31.

Fig. 32.

Fig. 33.

Fig. 34.

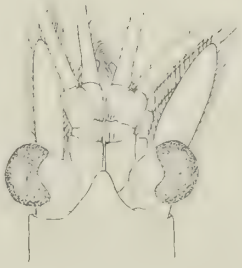

Fig. 35.

Fig. 36.

Fig. 37.

Fig. 38.

Fig. 39.

Fig. 40.

Fig. 41.

Fig. 42.

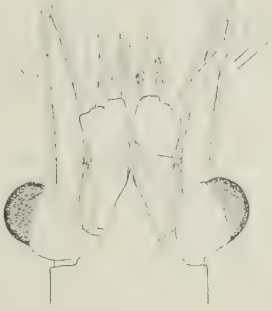

Fig. 43.

Fig. 44.

Fig. 45

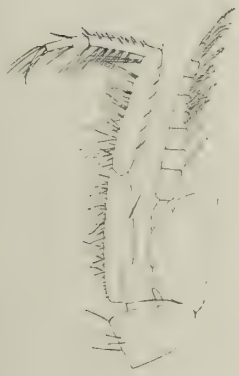

Fig. 46.

Fig. 47.

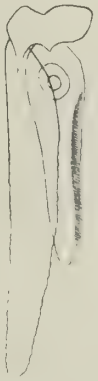

Fig. 48.

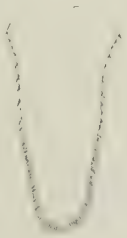

Fig. 49.

Fig. 50.

Fig. 51.

Fig. 52.

Verlag von Gustav Fischer in Jena.

Plate III.

Plate III.

Fig. 1 and 1a. *Monophlebus africanus* n. sp. Circular spinnerets.

„ 2 and 2a. *Monophlebus africanus* n. sp. Antennae.

„ 3. *Monophlebus africanus* n. sp. Anterior tarsus.

„ 4. *Ripersia glandulifera* n. sp. Female, second stage.

„ 5. *Aspidiotus reticulatus* n. sp. Pygidium.

„ 6. *Aspidiotus (Selenaspidus) euphorbiae* n. sp. Pygidium.

„ 7. *Aspidiotus (Selenaspidus) schultzei* n. sp. Pygidium.

„ 8. *Chionaspis mytilaspiformis* n. sp. Pygidium.

„ 9. *Chionaspis africana* n. sp. Pygidium.

„ 10. *Chionaspis subnudata* n. sp. Pygidium.

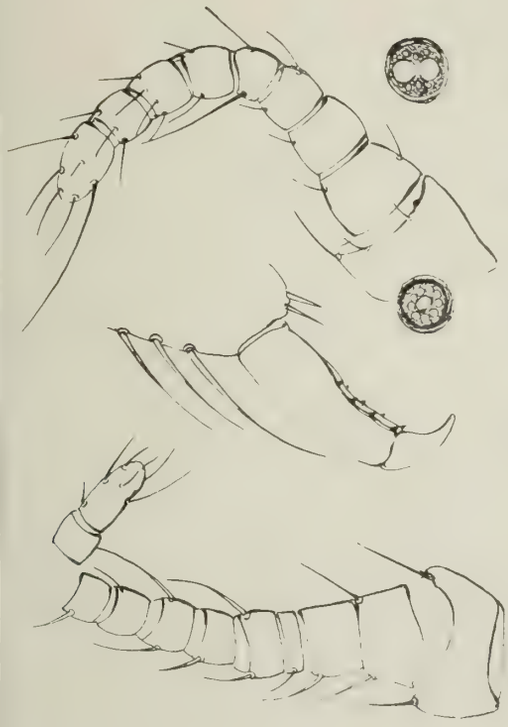

Fig. 1a. Fig. 2 Fig. 1. Fig. 3. Fig. 2a.

Fig. 5.

Fig. 6.

Fig. 7.

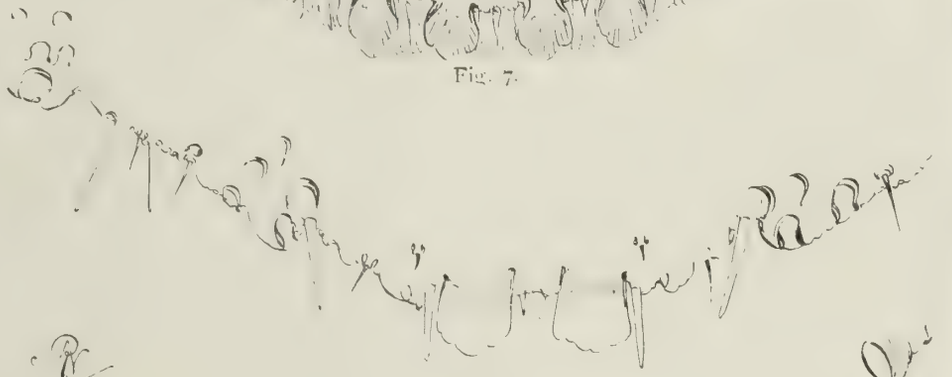

Fig. 8.

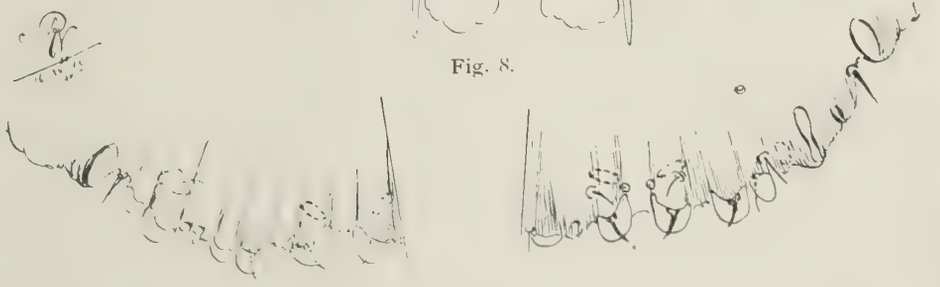

Fig. 9.

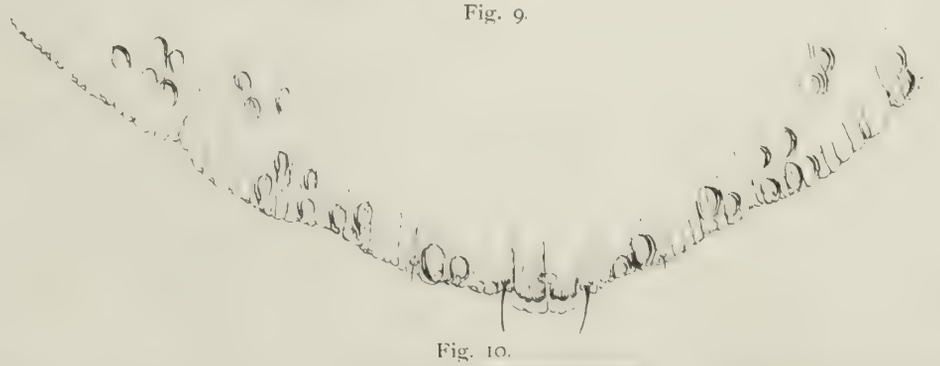

Fig. 10.

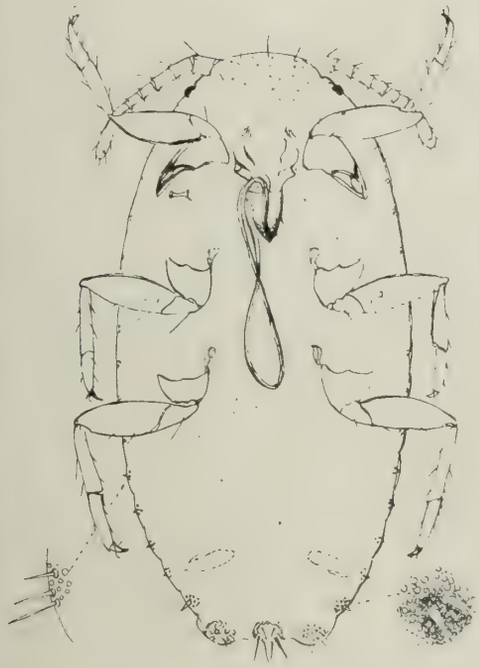

Fig. 4.

Tafel IV.

Tafel IV.

Fig. 1. *Paradiaptomus schultzei* n. sp. ♀. Habitusbild.
„ 2. „ „ ♀. 1. Abdominalsegment.
„ 3. „ „ ♀. Dgl. rechtsseitig.
„ 4. „ „ ♀. Furcalast.
„ 5.[1]) „ „ ♀. Die 3 Endglieder des Maxilliped.
„ 6. „ „ ♀. 5. Fuß.
„ 7. „ „ ♂. Letztes Cephalothorax- und 1. Abdominalsegment.
„ 8. „ „ ♂. Die beiden letzten Abdominalsegmente und die Furca.
„ 9. „ „ ♂. 10.—14. Glied der Greifantenne.
„ 10. „ „ ♂. Endstück der Greifantenne.
„ 11. „ „ ♂. 5. Fußpaar.
„ 12. „ „ ♂. Linker 5. Fuß.
„ 13. *Paradiaptomus similis* n. sp. ♀. Letztes Cephalothoraxsegment und Abdomen.
„ 14. „ „ ♂. 10.—14. Glied der Greifantenne.
„ 15. *Diaptomus meridianus* n. sp. ♀. Habitusbild.
„ 16. „ „ ♀. Letztes Abdominalsegment und Furca.
„ 17. „ „ ♂. Letztes Cephalothorax- und 1. Abdominalsegment.
„ 18. „ „ ♀. 5. Fußpaar.
„ 19. „ „ ♂. 5. Fußpaar.

1) Nach einem absichtlich etwas gequetschten Präparat gezeichnet, um die Anordnung der einzelnen Glieder, ihre Bewehrung und den Endlobus zur deutlichen Darstellung zu bringen.

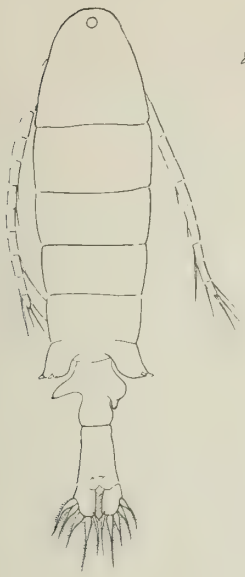

Fig. 1.

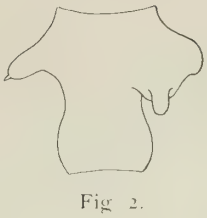

Fig. 2.

Fig. 3.

Fig. 4.

Fig. 5.

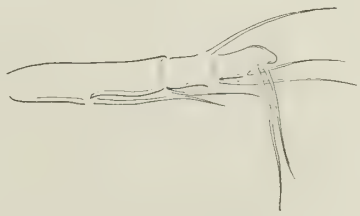

Fig. 10.

Fig. 6

Fig. 7.

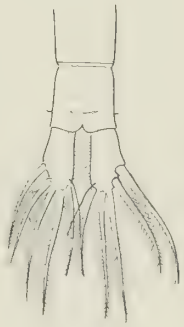

Fig. 8.

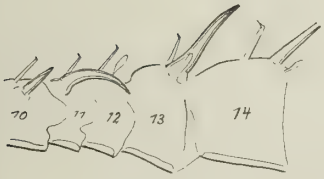

Fig. 9.

Fig. 12.

Fig. 14.

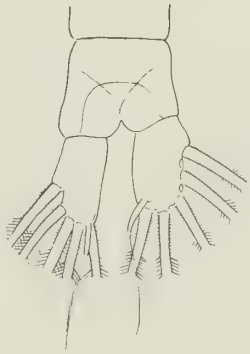

Fig. 16.

Fig. 17.

Fig. 11.

Fig. 18.

Fig. 13.

Fig. 19

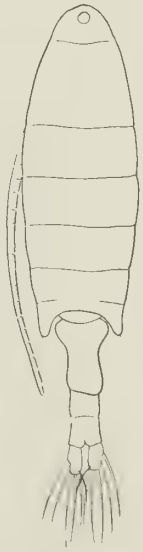

Fig. 15.

Verlag von **Gustav Fischer** in **Jena.**

Tafel V.

Tafel V.

Fig. 1. *Moina belli* GURN., ♀. Von der Seite. Reich., Ok. I, Obj. 2.
„ 2. „ „ „ ♂. Von der Seite. Reich., Ok. I, Obj. 2.
„ 3. „ „ „ ♀. 1. Antenne. Reich., Ok. I, Obj. 4.
„ 4. „ „ „ ♀. Postabdomen. Reich., Ok. I, Obj. 4.
„ 5. „ „ „ ♂. 1. Antenne. Reich., Ok. I, Obj. 4.
„ 6. „ „ „ ♂. Ende des 1. Fußes. Reich., Ok. I, Obj. 7
„ 7. „ „ „ ♀. 2. Antenne. Reich., Ok. I, Obj. 4.
„ 8. *Moina belli* v. *salina* ♀. Von der Seite. Reich., Ok. I, Obj. 2.
„ 9. „ „ „ „ ♀. 1. Antenne. Reich., Ok. I, Obj. 4.
„ 10. „ „ „ „ ♂. 1. Antenne. Reich., Ok. I, Obj. 4.
„ 11. „ „ „ „ ♀. 2. Antenne. Reich., Ok. I, Obj. 4.
„ 12. „ „ „ „ ♂. Ende des 1. Fußes. Reich., Ok. I, Obj. 7.
„ 13. „ „ „ „ ♂. Postabdomen. Reich., Ok. I, Obj. 2.
„ 14. *Cyprinotus aureus* (G. O. SARS), ♀. Rechte Schale. Reich., Ok. I, Obj. 2.
„ 15. „ „ („ „ „), ♀. Linke Schale. Reich., Ok. I, Obj. 2.
„ 16. „ „ („ „ „), ♀. Schalen von oben. Reich., Ok. I, Obj. 2.
„ 17. „ „ („ „ „), ♂. Rechte Schale. Reich., Ok. I, Obj. 2.
„ 18. „ „ („ „ „), ♀. Vorderrand der rechten Schale. Reich., Ok. I, Obj. 4.
„ 19. „ „ („ „ „), ♀. Vorderrand der linken Schale. Reich., Ok. I, Obj. 4.
„ 20. „ „ („ „ „), ♀. Muskeleindrücke. Reich., Ok. I, Obj. 4.
„ 21. „ „ („ „ „), ♂. 2. Antenne. Reich., Ok. 6, Obj. 4.
„ 22. „ „ („ „ „), ♀. Mandibulartaster. Reich., Ok. 6, Obj. 4.
„ 23. „ „ („ „ „), ♀. Maxillartaster mit dem 1. Kaufortsatz. Reich., Ok. 6, Obj. 4.
„ 24. „ „ („ „ „), ♂. Rechter Maxillarfußtaster. Reich., Ok. 6, Obj. 4.
„ 25. „ „ („ „ „), ♂. Linker Maxillarfußtaster. Reich., Ok. 6, Obj. 4.
„ 26. „ „ („ „ „), ♀. Maxillarfußtaster. Reich., Ok. 6, Obj. 4.
„ 27. „ „ („ „ „), ♂. 2. Fuß. Reich., Ok. 6, Obj. 4.
„ 28. „ „ („ „ „), ♂. Kopulationsorgan. Reich., Ok. 6, Obj. 4.
„ 29. „ „ („ „ „), ♂. 1. Fuß. Reich., Ok. 6, Obj. 4.
„ 30. „ „ („ „ „), ♂. Furcalanhänge. Reich., Ok. 6, Obj. 4.
„ 31. „ „ („ „ „), ♀. Furcalanhänge. Reich., Ok. 6, Obj. 4.
„ 32. *Cyprinotus inversus* DAD., ♀. Rechte Schale. Reich., Ok. 6, Obj. 2.
„ 33. „ „ „ ♀. Linke Schale. Reich., Ok. 6, Obj. 2.
„ 34. „ „ „ ♂. Rechte Schale. Reich., Ok. 6, Obj. 2.
„ 35. „ „ „ ♂. Linke Schale. Reich., Ok. 6, Obj. 2.
„ 36. „ „ „ ♂. Schalen von oben. Reich., Ok. 6, Obj. 2.
„ 37. „ „ „ ♀. Schalen von oben. Reich., Ok. 6, Obj. 2.
„ 38. „ „ „ ♂. Maxille. Reich., Ok. 6, Obj. 4.
„ 39. „ „ „ ♂. 1. Antenne. Reich., Ok. 6, Obj. 4.
„ 40. „ „ „ ♀. Muskeleindrücke. Ok. 6, Obj. 4.
„ 41. „ „ „ ♀. Maxillarfußtaster. Reich., Ok. 6, Obj. 4.
„ 42. „ „ „ ♀. Ein Stück der Schale. Reich., Ok. 6, Obj. 4.
„ 43. „ „ „ ♂. Hinterrand der rechten Schale. Reich., Ok. 6, Obj. 2.
„ 44. „ „ „ ♂. Vorderrand der rechten Schale. Reich., Ok. 6, Obj. 2.

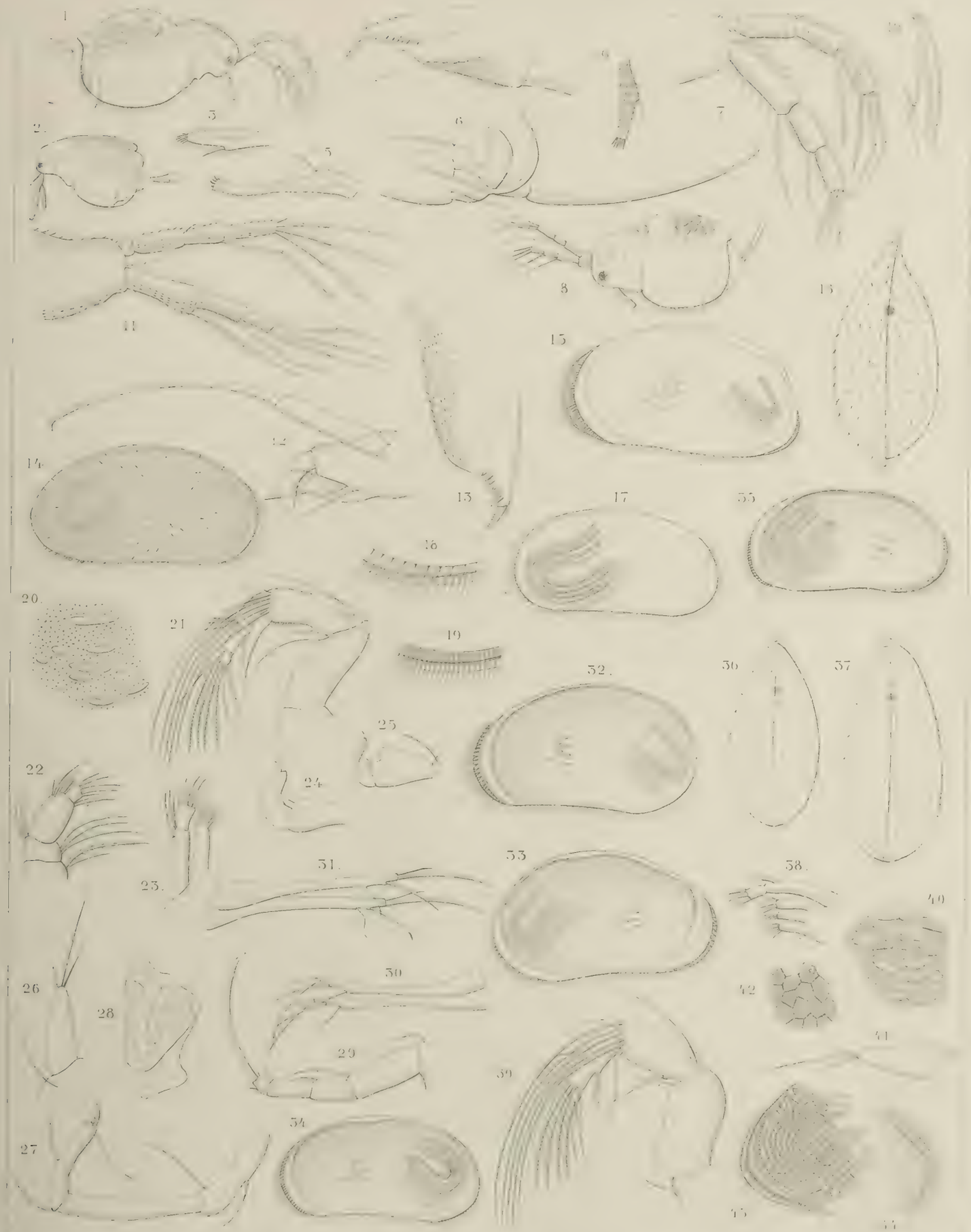

Verlag von Gustav Fischer in Jena

Lith. Anst. v. A. Giltsch, Jena

Tafel VI.

Tafel VI.

Fig. 45. *Cyprinotus inversus* Dad., ♂. Vorderrand der linken Schale. Reich., Ok. 6, Obj. 2.
„ 46. „ „ „ ♂. Ein Stück des Vorderrandes der linken Schale. Reich., Ok. 6, Obj. 2.
„ 47. „ „ „ ♂. Linker Maxillarfußtaster. Reich., Ok. 6, Obj. 4.
„ 48. „ „ „ ♂. Rechter Maxillarfußtaster. Reich., Ok. 6, Obj. 4.
„ 49. „ „ „ ♀. Furcalanhang. Reich., Ok. 6, Obj. 4.
„ 50. „ „ „ ♂. Furcalanhang. Reich., Ok. 6, Obj. 4.
„ 51. „ „ „ ♂. Ductus ejaculatorius. Reich., Ok. 6, Obj. 4.
„ 52. „ „ „ ♂. 1. Fuß. Reich., Ok, 6, Obj. 4.
„ 53. „ „ „ ♂. Kopulationsorgan. Reich., Ok. 6, Obj. 4.
„ 54. „ „ „ ♂. 2. Fuß. Reich., Ok. 6, Obj. 4.
„ 55. *Herpetocypris schultzei* Dad., ♂. Linke Schale. Reich., Ok. I, Obj. 0.
„ 56. „ „ „ ♀. Rechte Schale. Reich., Ok. I, Obj. 0.
„ 57. „ „ „ ♂. Schalen von oben. Reich., Ok. I, Obj. 0.
„ 58. „ „ „ ♀. Schalen von oben. Reich., Ok. I, Obj. 0.
„ 59. „ „ „ ♂ juv. Linke Schale. Reich., Ok. I, Obj. 0.
„ 60. „ „ „ ♂ juv. Rechte Schale. Reich., Ok. I, Obj. 0.
„ 61. „ „ „ ♂. 2. Antenne. Reich., Ok. 6, Obj. 0.
„ 62. „ „ „ ♀. Ende der 2. Antenne. Reich., Ok. I, Obj. 4.
„ 63. „ „ „ ♀. Mandibel. Reich., Ok. I, Obj. 4.
„ 64. „ „ „ ♀. Maxillartaster und 1. Kaufortsatz. Reich., Ok. I, Obj. 4.
„ 65. „ „ „ ♂. Furcalanhänge. Reich., Ok. 6, Obj. 2.
„ 66. „ „ „ ♀. Furcalanhang. Reich., Ok. 6, Obj. 2.
„ 67. „ „ „ ♀. Maxillarfußtaster. Reich., Ok. I, Obj. 4.
„ 68. „ „ „ ♂. Rechter Maxillarfußtaster. Reich., Ok. 6, Obj. 2.
„ 69. „ „ „ ♂ juv. Maxillarfußtaster. Reich., Ok. I, Obj. 4.
„ 70. „ „ „ ♂. Linker Maxillarfußtaster. Reich., Ok. 6, Obj. 2.
„ 71. „ „ „ ♂. 2. Fuß. Reich., Ok. 6, Obj. 2.
„ 72. „ „ „ ♂. 1. Fuß. Reich., Ok. 6, Obj. 2.
„ 73. „ „ „ ♂. Kopulationsorgan von außen. Reich., Ok. 6, Obj. 2.
„ 74. „ „ „ ♂. Kopulationsorgan von innen. Reich., Ok. 6, Obj. 2.
„ 75. „ „ „ ♂. Ductus ejaculatorius. Reich., Ok. I, Obj. 4.
„ 76. „ „ „ ♀. Muskeleindrücke. Reich., Ok. I, Obj. 4.
„ 77. *Cypridopsis viduella* Sars, ♀. Linke Schale. Reich., Ok. 6, Obj. 2.
„ 78. „ „ „ ♀. Schalen von oben. Reich., Ok. 6, Obj. 2.
„ 79. „ „ „ ♀. Vorderrand der rechten Schale. Reich., Ok. 6, Obj. 4.
„ 80. „ „ „ ♀. Muskeleindrücke. Reich., Ok. 6, Obj. 4.
„ 81. „ „ „ ♀. 1. Antenne. Reich., Ok. 6, Obj. 4.
„ 82. „ „ „ ♀. Mandibulartaster. Reich., Ok. 6, Obj. 4.
„ 83. „ „ „ ♀. Maxille. Reich., Ok. 6, Obj. 4.
„ 84. „ „ „ ♀. Ende des 2. Fußes. Reich., Ok. 6, Obj. 7.
„ 85. „ „ „ ♀. Furcalanhang. Reich., Ok. 6, Obj. 4.
„ 86. „ „ „ ♀. 1. Fuß. Reich., Ok. 6, Obj. 4.
„ 87. „ „ „ ♂. Ductus ejaculatorius. Reich., Ok. I, Obj. 7.
„ 88. „ „ „ ♂. Rechter Maxillarfußtaster. Reich., Ok. I, Obj. 7.
„ 89. „ „ „ ♂. Linker Maxillarfußtaster. Reich., Ok. I, Obj. 7.
„ 90. „ „ „ ♀. 2. Fuß. Reich., Ok. 6, Obj. 4.
„ 91. „ „ „ ♀. Maxillarfußtaster. Reich., Ok. 6, Obj. 4.
„ 92. „ „ „ ♂. Kopulationsorgan. Reich., Ok. I, Obj. 7.
„ 93. *Candonopsis namaica* Dad., ♀. Linke Schale. Reich., Ok. 6, Obj. 2.
„ 94. „ „ „ ♂. Linke Schale. Reich., Ok. 6, Obj. 2.
„ 95. „ „ „ ♀. Schalen von oben. Reich., Ok. 6, Obj. 2.
„ 96. „ „ „ ♂. Schalen von oben. Reich., Ok. 6, Obj. 2.
„ 97. „ „ „ ♂. 2. Antenne. Reich., Ok. 6, Obj. 4.
„ 98. „ „ „ ♂. Kauteil der Mandibel. Reich., Ok. I, Obj. 7.
„ 99. „ „ „ ♂. Rechte Maxillarfußtaster. Reich., Ok. 6, Obj. 4.
„ 100. „ „ „ ♂. Mandibulartaster. Reich., Ok. I, Obj. 7.
„ 101. „ „ „ ♂. 2. Fuß. Reich., Ok. 6, Obj. 4.
„ 102. „ „ „ ♂. Maxille. Reich., Ok. I, Obj. 7.
„ 103. „ „ „ ♀. Maxillarfußtaster. Reich., Ok. I, Obj. 7.
„ 104. „ „ „ ♀. Furcalanhang. Reich., Ok. 6, Obj. 4.
„ 105. „ „ „ ♂. Furcalanhang. Reich., Ok. 6, Obj. 4.
„ 106. „ „ „ ♂. 1. Fuß. Reich., Ok. 6, Obj. 4.
„ 107. „ „ „ ♂. Ductus ejaculatorius. Reich., Ok., I, Obj. 4.
„ 108. „ „ „ ♂. Kopulationsorgan. Reich., Ok. 6 Obj. 4.
„ 109. „ „ „ ♂. Linker Maxillarfußtaster. Reich., Ok. 6, Obj. 4.

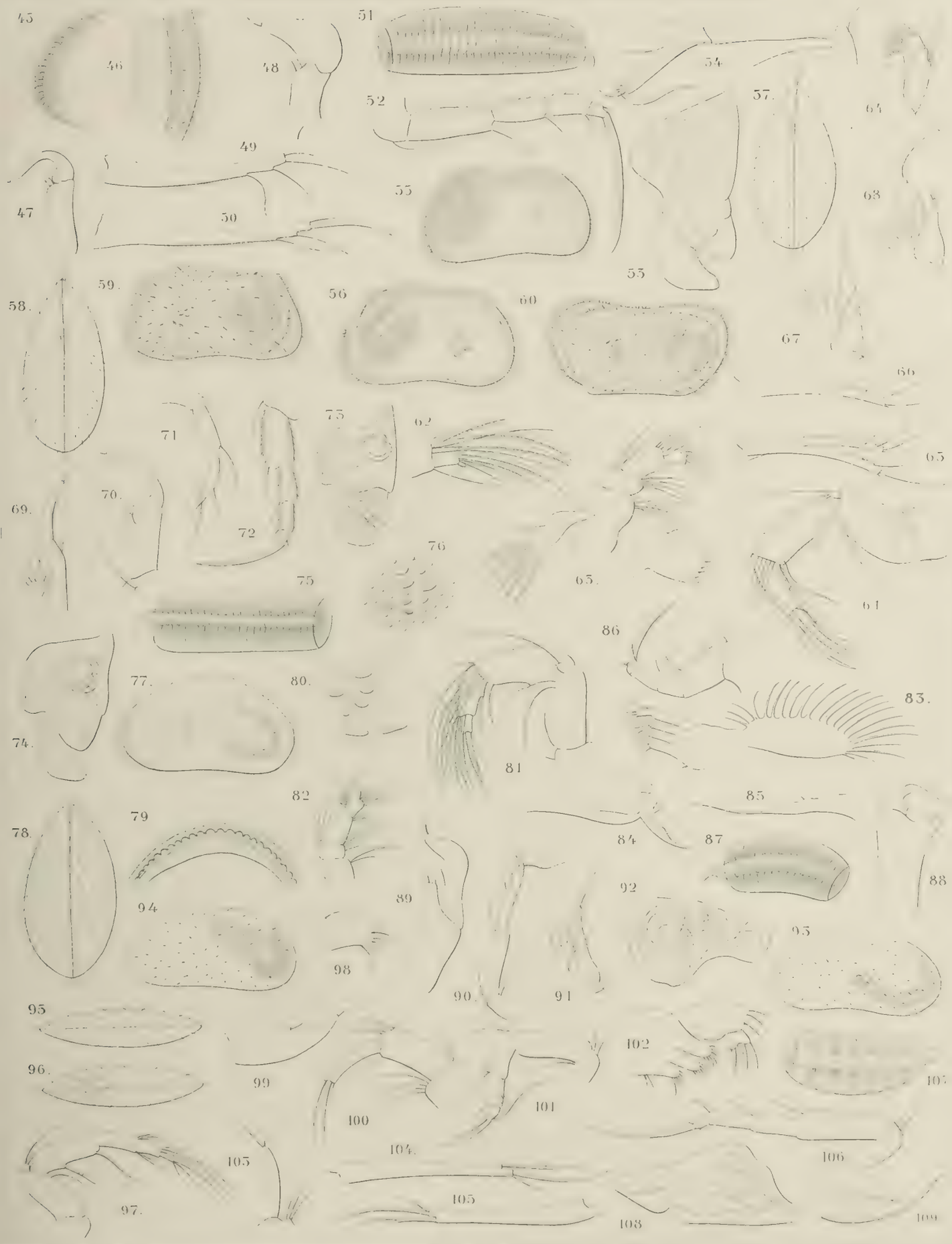

Verlag von Gustav Fischer in Jena. Lith. Anst. v. A. Gütsch Jena

Tafel VII.

Tafel VII.

Fig. 1. *Tridemnum cerebriforme* n. sp. Kolonie. Verkleinert.

„ 2. *Holozoa domuncula* n. sp. Kolonie. Nat. Gr.

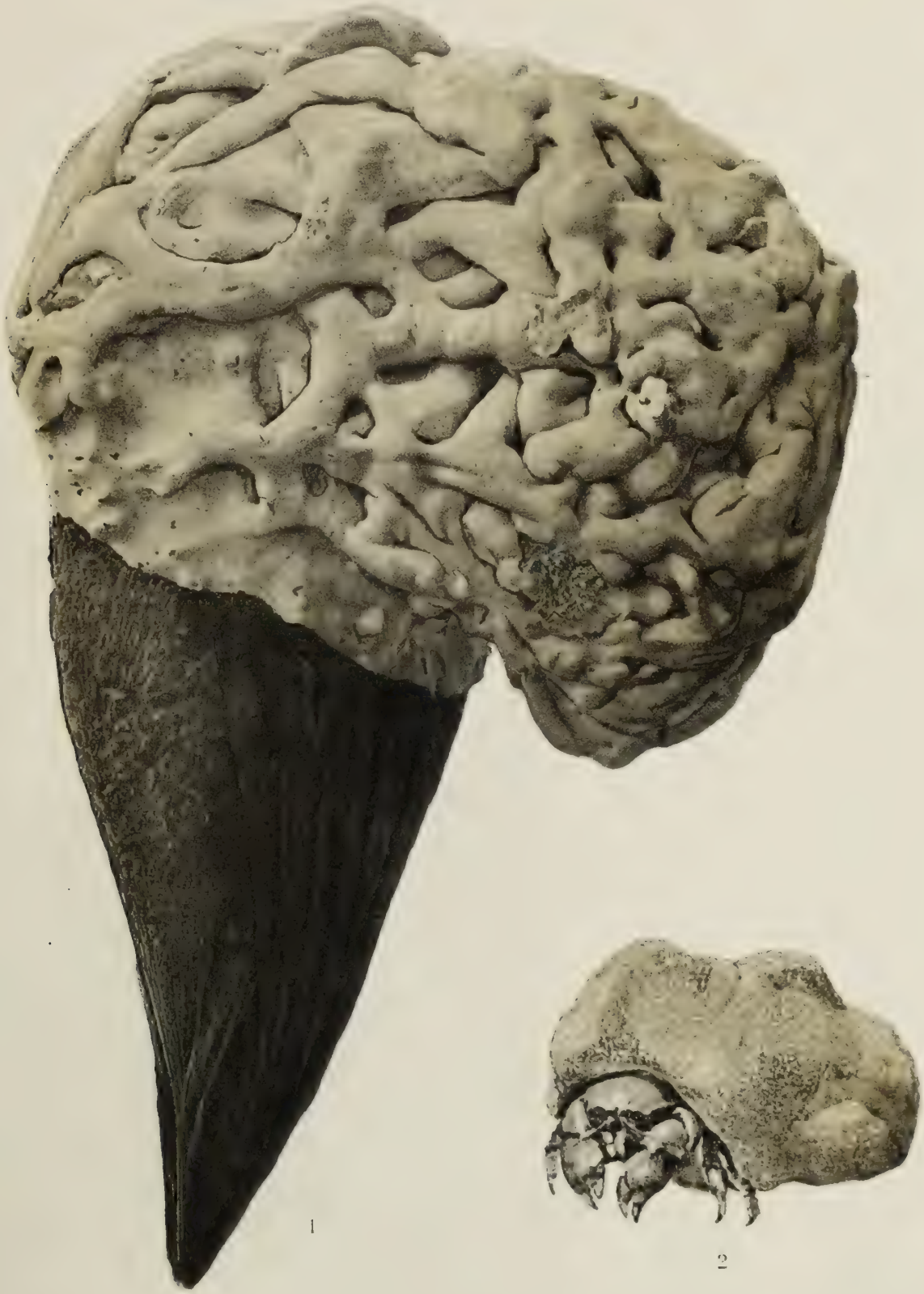

1

2

Tafel VIII.

Tafel VIII.

Fig. 1. *Amaroucium obesum* (SLUIT.). Kolonie. Etwas verkleinert.
„ 2. *Holozoa domuncula* n. sp. Einzeltier.
„ 3. *Aplidium schultzei* n. sp. Einzeltier.
„ 4. *Tridemnum cerebriforme* n. sp. Einzeltier.
„ 5. „ „ „ „ Kalkkörper.

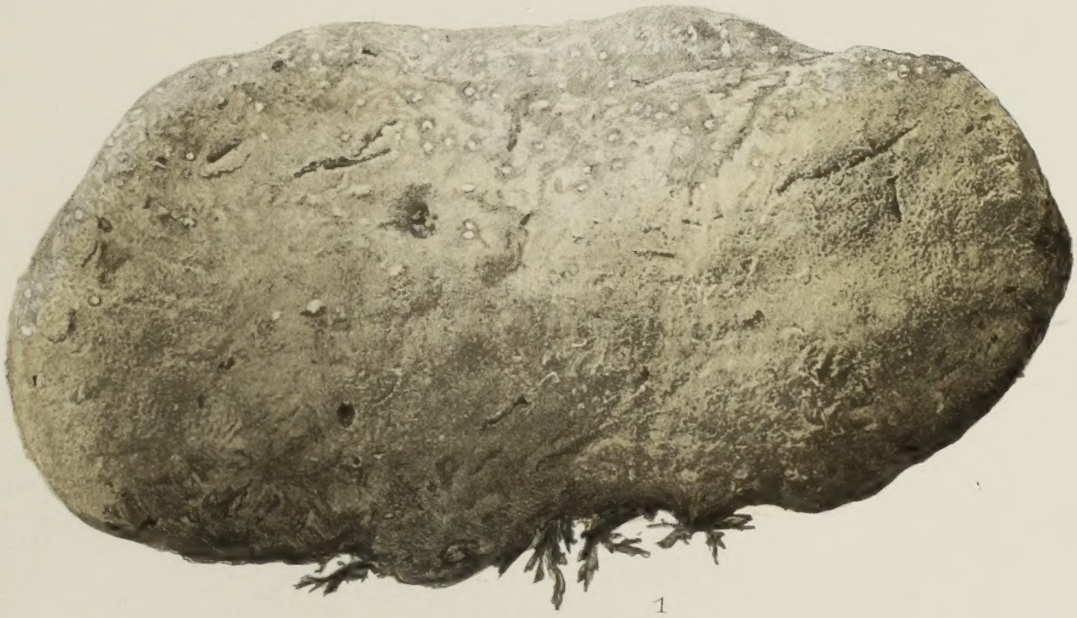

1

2

3

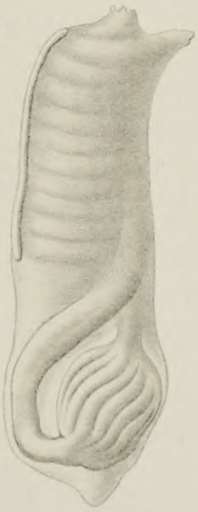

5
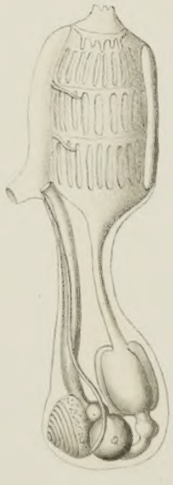
4